

de NaCl en algunos aislados de este patógeno. Todas estas diferencias individuales de los aislados de *M. phaseolina* fueron maximizadas para su representación mediante el análisis de conglomerados.

Formación de grupos de crecimiento en función del potencial hídrico

Los aislados se agruparon en cinco grupos de crecimientos de acuerdo al método promedio ponderado (Weighted average linkage) y la distancia euclídea. Con una correlación cofenética de 0,91 y una línea de corte a 4,6. La figura 4, muestra las diferencias entre los grupos (identificados por colores) de crecimiento de los 30 aislados de *M. phaseolina*, en condiciones de déficit hídrico inducido por diferentes concentraciones de NaCl (200; 300; 400 y 750 mM). No hubo clara asociación de los grupos de aislados de *M. phaseolina* por su respuesta ante

condiciones de déficit hídrico con el origen geográfico. No obstante, el 53 % de los aislados del grupo 2 provienen del estado Portuguesa, señalado como la zona agrícola de mayor incidencia de *M. phaseolina* en Venezuela (González *et al.* 2007).

En la figura 5, se muestra el comportamiento del crecimiento a las 72 h de cada grupo de aislados de *M. phaseolina*, bajo diferentes condiciones hídricas (0; 400 y 750 mM de NaCl). A la concentración de 400 mM, el aislado YAR02, ubicado en el grupo 4, tuvo el mayor crecimiento con una media de 9 cm. A este le siguió el grupo 2, con una media de 5,54 cm. A la concentración de 750 mM, el grupo 2 fue el de mayor crecimiento (media 4,25 cm) seguido por el aislado YAR02 (3,90 cm) del grupo 4. Estos grupos demostraron una mayor capacidad de crecer bajo estas condiciones de ensayo; también las medias de crecimientos en condiciones de mayor

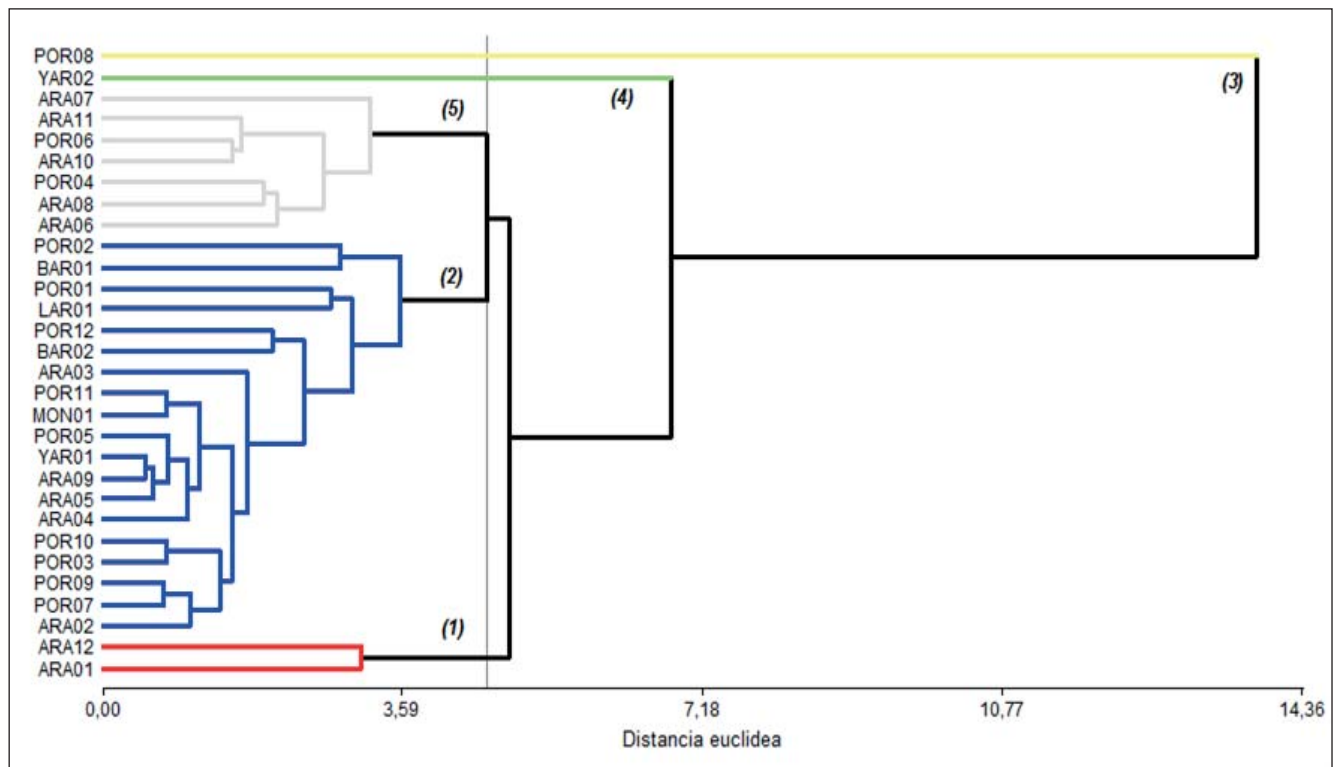


Figura 4. Dendrograma de 30 aislados de *M. phaseolina* diferenciados por su respuesta a potenciales hídricos *in vitro*.